

รายงานวิจัยฉบับสมบูรณ์

โครงการ การสังเคราะห์และการประยุกต์ใช้งานของบิส-คาลิกซ์[4]-พอร์ไฟริน

โดย รศ. ดร.บัญชา พูลโภคา

วันที่แล้วเสร็จโครงการ 30 เมษายน 2548

รายงานวิจัยฉบับสมบูรณ์

โครงการ การสังเคราะห์และการประยุกต์ใช้งานของบิส-คาลิกซ์[4]-พอร์ไฟริน

รศ. ดร.บัญชา พูลโภคา ภาควิชาเคมี คณะวิทยาศาสตร์ จุฬาลงกรณ์มหาวิทยาลัย

สนับสนุนโดยสำนักงานกองทุนสนับสนุนการวิจัย

(ความเห็นในรายงานนี้เป็นของผู้วิจัย สกว. ไม่จำเป็นต้องเห็นด้วยเสมอไป)

กิตติกรรมประกาศ

งานวิจัยนี้ได้รับเงินสนับสนุนการวิจัยจากสำนักงานกองทุนสนับสนุนการวิจัย (สกว) รหัสโครงการ:
RSA/06/2545 และกองทุนรัชดาภิเษกสมโภช ซึ่งผู้วิจัยขอขอบพระคุณมา ณ ที่นี้ นอกจากนี้ผู้วิจัยขอขอบคุณจุฬาลงกรณ์มหาวิทยาลัย คณะวิทยาศาสตร์ ภาควิชาเคมีและหน่วยวิจัยเคมีซุปราโมเลคิวลาร์ และหน่วยวิจัยเคมีอินทรีย์สังเคราะห์ที่ได้อำนวยความสะดวกในด้านเครื่องมือ สถานที่ทำวิจัยและอุปกรณ์ ต่างๆ รวมทั้งความช่วยเหลือ ผู้วิจัยขอกราบขอบพระคุณ ศาสตราจารย์ ดร. อภิชาติ สุขสำราญ ภาควิชา เคมี คณะวิทยาศาสตร์ มหาวิทยาลัยรามคำแหง ที่ปรึกษานักวิจัย ที่ได้ให้กำลังใจและคำปรึกษาตลอดมา สุดท้ายขอขอบคุณสมาชิกในหน่วยวิจัยทั้งสองและเจ้าหน้าที่ฝ่ายวิชาการ สำนักงานกองทุนสนับสนุนการ วิจัย สำหรับความช่วยเหลือที่ดีตลอดการทำวิจัยนี้

บทคัดย่อ

รหัสโครงการ: RSA/06/2545

ชื่อโครงการ: การสังเคราะห์และการประยุกต์ใช้งานของบิส-คาลิกซ์[4]-พอร์ไฟริน

ชื่อนักวิจัย: นายบัญชา พูลโภคา

ภาควิชาเคมี คณะวิทยาศาสตร์ จุฬาลงกรณ์มหาวิทยาลัย

E-mail Address: buncha.p@chula.ac.th

ระยะเวลาดำเนินโครงการ: 1 พฤศจิกายน พ.ศ. 2544- 30 เมษายน พ.ศ. 2548

ในงานวิจัยนี้ได้ทำการสังเคราะห์ *ซิส*-บิส-*พารา-เทอร์เชียรี*-บิวทิลคาลิกซ์[4]-พอร์ไฟริน (**1**) และ *ซิส*-บิสคาลิกซ์[4]-พอร์ไฟริน (2) ซึ่งประกอบด้วยหน่วยคาลิกซ์[4]เอรีน 2 หน่วยเชื่อต่ออยู่บนวงพอร์ไฟรินใน ลักษณะ-*ซิส* จากปฏิกิริยาควบแน่นระหว่าง *พารา-เทอร์เซียรี*-บิวทิลคาลิกซ์[4]-ไดเบนซาลดีไฮด์หรือคาลิกซ์ [4]-ไดเบนซาลดีไฮด์ด้วยพิร์โรลโดยใช้กรดโพรพิโอนิกเป็นตัวเร่งปฏิกิริยาและตัวทำละลายร่วมกับโทลูอื่น นอกจากนี้ยังได้ทำการสังเคราะห์ *ทรานส*์-บิส-พ*ารา-เทอร์เชียรี*-บิวทิลคาลิกซ์[4]-พอร์ไฟริน (**3**) และ *ทรานส์*-บิสคาลิกซ์[4]-พอร์ไฟริน (**4**) ที่มีการเชื่อมต่อกันในลักษณะ-*ทรานส์* โดยผ่านสารตัวกลาง คือ คาลิกซ์[4]-บิส ไดพิร์โรลมีเธนแล้วนำมาควบแน่นกับคาลิกซ์[4]-ไดเบนซาลดีไฮด์ด้วยสภาวะในการสังเคราะห์ที่เหมือนกับ ข้างต้น ในระหว่างที่ทำการสังเคราะห์ 2-(ไตรเอธิลีนไกลคอลทอซิล)เบนซาลดีไฮด์สามารถแยกไตรเอธิลีน ไกลคอลไดเบนซาลดีไฮด์ออกมาได้ซึ่งสารนี้มีหน่วยเบนซาลดีไฮด์ที่เหมาะสำหรับนำมาควบแน่นกับพิร์โรล เพื่อสังเคราะห์ เตตระคิส(ไตรเอธิลีนไกล)พอร์ไฟริน (5) ซึ่งสามารถใช้เป็นกรงเชิงโมเลกุลสำหรับกักขังฟลู เลอรีน (C60) โดยใช้ฟลูออเรสเซนต์สเปกโตรสโกปีในการศึกษาการเกิดสารประกอบเชิงซ้อนดังกล่าว ใน ขั้นตอนการออกแบบแต่แรกนั้นได้ตั้งใจที่จะใช้หน่วยพอร์ไฟรินเป็นหน่วยรับสำหรับแอนไอออน แต่นอกจาก พอร์ไฟรินเองแล้วสารที่เป็นแอนาลอกของพอร์ไฟริน คือ คาลิกซ์[4]พิร์โรลซึ่งสามารถสังเคราะห์ได้จากการ ควบแน่นระหว่างสารประกอบคีโตนกับพิร์โรลยังใช้เป็นหน่วยรับสำหรับแอนไอออนที่แพร่หลาย ดังนั้นเราจึง ได้ทำการสังเคราะห์ *บิส-พารา-เทอร์เซียรี*-บิวทิลคาลิกซ์[4]-คาลิกซ์[4]พิร์โรล (**6**) และ *บิส*คาลิกซ์[4]-คาลิกซ์ [4]พิร์โรล (7) แล้วนำไปศึกษาการจับแอนไออนซึ่งพบว่าสาร 6 จับกับคลอไรด์ได้ดีกว่าฟลูออไรด์เมื่อนำเอา สาร 6 ไปทำปฏิกิริยากับเตตระเอิลีนไกลคอลไดทอซิเลตจะได้ 1,3-อัลเทอร์เนต-คาลิกซ์[4]-คราวน์-5-คาลิกซ์ [4]พิร์โรล (8) ที่เลือกจับเฉพาะ KF สูง

คำสำคัญ: คาลิกซ์[4]เอรีน, พอร์ไฟริน, คาลิกซ์[4]พิร์โรล, หน่วยรับ, แอนไอออน, คู่ไอออน

Abstract

Project Code: RSA/06/2545

Project Title: Synthesis and Applications of bis-Calix[4]-porphyrin

Investigator: Mr. Buncha Pulpoka

Department of Chemistry, Faculty of Science, Chulalongkorn University

Phayathai Road, Pathumwan, Bangkok 10330

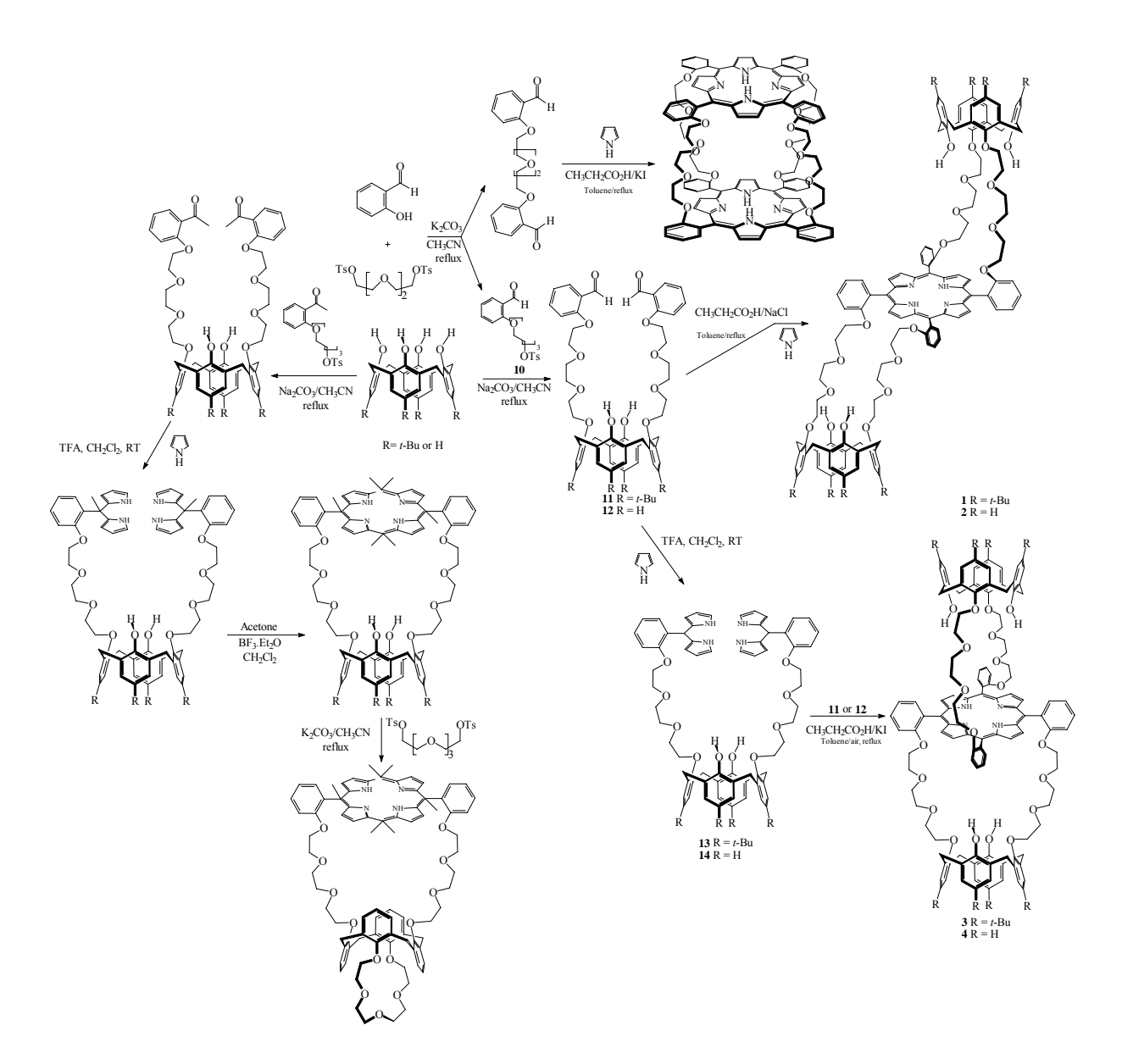
E-mail Address: buncha.p@chula.ac.th

Project Period: November 1, 2001-April 30, 2005

The cis-bis-p-tert-butylcalix[4]-porphyrin (1) and cis-biscalix[4]-porphyrin (2) comprising of two calix[4]arene units linked on porphyrin platform in cis manner by condensation of p-tertbutylcalix[4]-dibenzaldehyde or calix[4]-dibenzaldehyde with pyrrole by using propionic acid as catalyst and solvents along with toluene. Moreover, the trans linkage between two calix[4]arene units with porphyrin molecule, trans-bis-p-tert-butylcalix[4]-porphyrin (3) and trans-biscalix[4]porphyrin (4) were accomplished by using calix[4]-bisdipyrrolemethane intermediate for condensing with calix[4]-dibenzaldehyde in the same condition. During the synthesis of 2-(triethylene glycol tosyl)benzaldehyde, triethylene glycol dibenzaldehyde was isolated which is useful for preparation of tetrakis(triethylene glycol)-bisporphyrin (5). The molecular cage 5 was used to study the complexation with fullerene (C60) by fluorescent spectrometry. From the starting design concept, it was intended to use porphyrin unit as a receptor unit for anion receptor unit. Nevertheless, an analogue of porphyrin which is also synthesized from carbonyl and pyrrole and is more popular used as anion receptor is calix[4]pyrrole. Hence, calix[4]-calix[4]pyrrole (6) and p-tert-butylcalix[4]calix[4]pyrrole (7) were designed and synthesized. From anion complexation study, it was revealed that calix[4]-calix[4]pyrrole (6) prefers to bind Cl ion over F ion and, when 6 reacted with tetraethylene glycol ditosylate to afford a 1,3-alternate-calix[4]-crown-5-calix[4]pyrrole (8), its binding properties is highly selective to bind KF.

Keywords: calyx[4]arene, porphyrin, calyx[4]pyrrole, receptor, anion, ion-pair

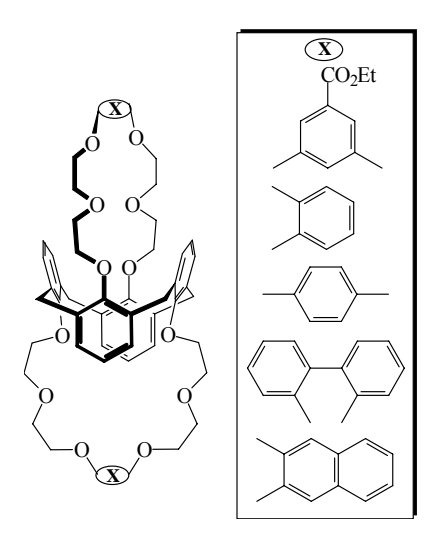
Entire synthesis of this research



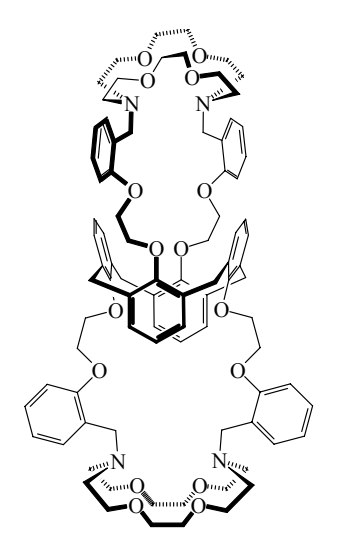
Introduction (บทน้ำ)

ในปัจจุบันนี้ เคมีซุปราโมเลคิวลาร์มีบทบาทสำคัญในหลายๆ ด้าน อาทิเช่น ใช้เป็นเซนเซอร์สำหรับ ไอออนแบบจำเพาะ (ion-selective sensors)^{1,2} ใช้เป็นคะตะลิสต์ (catalysts)^{3,4} หรือใช้ประโยชน์ทางด้าน การแพทย์ (medicinal applications) อาทิเช่น ใช้เป็นสารสำหรับการรักษาแบบโฟโตใดนามิกซ์ (photodynamic therapy (PDT)), photosensitizers, MRI reagents เป็นตัน นักวิจัยได้ทำการออกแบบและ สังเคราะห์สารประกอบที่มีสมบัติเฉพาะตามความต้องการโดยเอาแพล็ตฟอร์มต่างๆ มาประกอบเข้าไว้ ด้วยกัน ทั้งนี้เนื่องจากแพล็ตฟอร์มหนึ่งๆ จะมีลักษณะเฉพาะตัว

คาลิกซ์[4]เอรีนเป็นแพล็ตฟอร์มที่มีการศึกษาและนำมาเป็นเฟรมเวิร์คในการสังเคราะห์สารต่างๆ อย่างกว้างขวาง $^{5-7}$ ทั้งนี้เนื่องจากคาลิกซ์[4]เอรีนสามารถสังเคราะห์ได้ง่ายและยังมีโครงรูปถึง 4 โครงรูป ได้แก่ โคน พาร์เซียลโคน 1,2-อัลเทอร์เน็ตและ1,3-อัลเทอร์เน็ต โดยแต่ละโครงรูปมีสมบัติต่างกัน เช่น รูปที่ เป็น 1,3-อัลเทอร์เน็ตจะมีตำแหน่งจับยึด (binding sites) ทั้งสองข้างของเฟรมเวิร์คที่ประกอบไปด้วยหน่วยฟิ นิลีน 2 หน่วยและอะตอมฟินอกไซด์ 2 อะตอม การสังเคราะห์อนุพันธ์ของคาลิกซ์[4]เอรีนสามารถเลือก สังเคราะห์เพื่อให้ได้รูปใดรูปหนึ่ง ตัวอย่างเช่น อนุพันธ์ของคาลิกซ์[4]เอรีนที่อยู่ในรูป1,3-อัลเทอร์เน็ต สามารถสังเคราะห์ได้โดยใช้ K_2CO_3 หรือ Cs_2CO_3 เป็นเบส นอกจากนี้อนุพันธ์ของคาลิกซ์[4]เอรีนยัง สามารถออกแบบให้มีโพรง (cavity) ที่สมมาตรกันหรือไม่สมมาตรกันก็ได้ เช่น calix[4]-bis-crown หรือ calix[4]-bis-cryptand เป็นอนุพันธ์ของคาลิกซ์[4]เอรีนที่มีโพรงที่สมมาตรกัน ซึ่งสามารถจับไอออนที่ เหมือนกันได้ 2 ไอออนในเวลาเดียวกัน ได้เป็น homobinuclear cmplexes

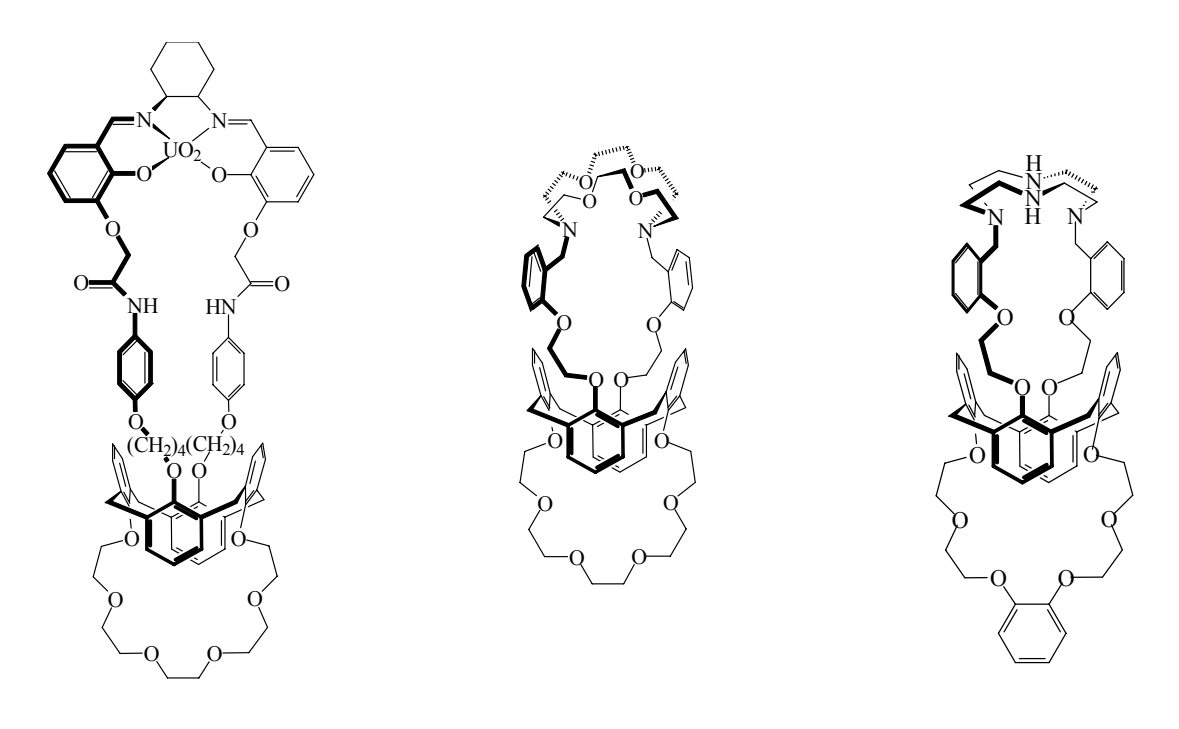


calix[4]-bis-crown



calix[4]-bis-cryptand

สำหรับอนุพันธ์ของคาลิกซ์[4]เอรินที่อยู่ในโครงรูป 1,3-อัลเทอร์เน็ตและมีโพรงไม่สมมาตรกัน ได้แก่ 1,3-alternate calix[4]-uranylsalophene-crown-6¹¹ ที่สามารถเกิดสารประกอบเชิงซ้อนกับทั้งแอนไอออน และแคทไอออนได้ในเวลาเดียวกัน หรือ 1,3-alternate calix[4]-cryptand-crown-6¹² และ 1,3-alternate calix[4]-cyclen-benzo-crown-6¹³ ที่สามารถเกิดสารประกอบเชิงซ้อนกัน hard-metal ions และ soft-metal ions ได้ในขณะเดียวกัน ซึ่งแสดงว่าอนุพันธ์ทั้งสองนี้สามารถทำหน้าที่เป็น "hard-soft receptors" ได้



calix[4]-uranylsalophene-crown-6

calix[4]-cryptand-crown-6

calix[4]-cyclen-benzo-crown-6

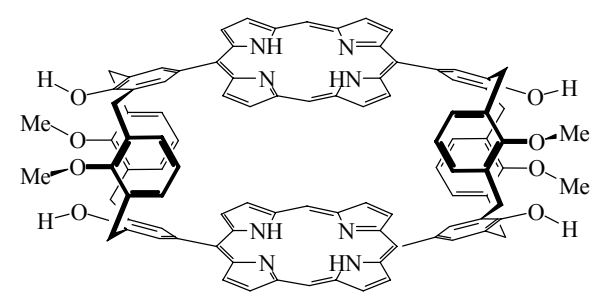
นอกจากคาลิกซ์[4]เอรีนแล้ว ยังมีแพล็ตฟอร์มอื่นๆ ที่น่าสนใจ ซึ่งได้แก่ พอร์ไฟริน (porphyrins)¹⁴ สารประกอบชนิดนี้ถึงแม้จะมีรูปร่างเป็นแบน (สองมิติ) แต่ก็มีลักษณะอื่นๆ ที่น่าสนใจ เช่น ความเป็นอะโร มาติกขนาดใหญ่ ทำให้โมเลกุลของสารชนิดนี้มีสีเฉพาะตัวและมีโพรง (cavity) ที่มีขนาดจำเพาะ มีสมบัติเชิง แสงที่น่าสนใจ สารประกอบเชิซ้อนของอนุพันธ์หลายชนิดของพอร์ไฟรินมีความสามารถเป็นคะตะลิสต์ใน ปฏิกิริยาอิพอก-ซิเดชันของสไตรีนได้เป็นอย่างดี อาทิเช่น ZnTTP-MnDPyP- ZnTTP supramolecular complex¹⁵ หรือ MTCTMP¹⁶

ZnTTP-MnDPyP- ZnTTP supramolecular complex

MTCTMP

นอกจากนี้ยังมีอนุพันธ์ของพอร์ไฟรินที่สามารถนำมาใช้ในการักษาด้วยเทคนิคที่มีชื่อว่า photdynamic therapy (PDT) ซึ่งมีจำหน่ายในเชิงพานิชย์ ภายใต้ชื่อ "Photofrin[®]", 17

จากสมบัติอันโดดเด่นของแพล็ตฟอร์มทั้งสอง จึงได้มีผู้สนใจนำเอาพอร์ไฟรินมาต่อเข้ากับคาลิกซ์[4]-เอรีนเพื่อสร้างเป็นโมเลกุลซุปเปอร์ (super molecules) ที่น่าสนใจ การสังเคราะห์โมเลกุลที่มีทั้งคาลิกซ์[4] เอรีนและพอร์ไฟรินถูกรายงานเป็นครั้งแรกโดย Asfari และคณะ 18 ในปี 1993 ซึ่งได้ทำการสังเคราะห์ double porphyrin double calix[4]arene จาก calix[4]dialdehyde และ dipyrryl methane ด้วยเปอร์เซ็นต์ผลิตภัณฑ์ เพียง 0.4 %



double porphyrin double calix[4]arene

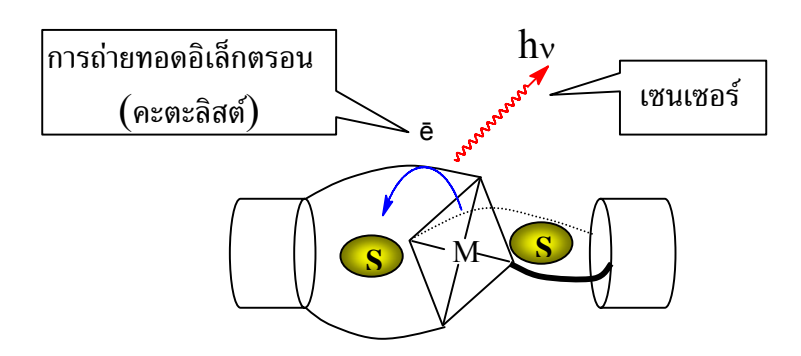
ต่อมาในปี 1994 และ 1995 Rudkevich และคณะ^{19,20} ได้ทำการสังเคราะห์ *Bis*-calix[4]arene-Zn-tetraarylporphyrins ขึ้น โดยการเชื่อมกันของโมเลกุลพอร์ไฟรินกับคาลิกซ์[4]เอรีน ซึ่งโมเลกุลดังกล่าวจะมี สมบัติเป็น multifunctional receptors ที่สามารถจับกับแอนไอออนและโมเลกุลที่เป็นกลางได้

ในขณะเดียวกัน Nagasaki และคณะ^{21,22} ได้ทำการสังเคราะห์ calix[4]-capped tetraphenylporphyrin ซึ่งสามารถทำหน้าที่เป็น hard-soft ditopic receptor ได้และยังสามารถเกิด สารประกอบเชิงซ้อนกับไอโอไดด์ได้ดี

นอกจากนี้ยังมีการสังเคราะห์อนุพันธ์คาลิกซ์[4]เอรีน 2 หน่วยที่เชื่อมกันด้วย mesodiphenylporphyrin เพียงตำแหน่งเดียว จากการนำไปศึกษากระบวนการ electron-transfer กับ benzoquinone พบว่าเกิดการถ่ายทอดอิเล็กตรอนจากไอออนของโลหะที่ถูกจับอยู่ที่พอร์ไฟรินไปยัง benzoquinone^{23,24}

ในการศึกษากระบวนการ electron-transfer ระหว่าง [60]fullerene และ porphyrin ยังได้มีการ นำเอาหน่วยย่อยทั้งสองมาต่อไว้บนแพล็ตฟอร์มคาลิกซ์[4]เอรีน ทั้งนี้เพื่อเป็นการควาบคุมกระบวนการ ดังกล่าวโดยใช้การเปลี่ยนแปลงโครงรูปที่ถูกเหนี่ยวนำโดยโลหะ (metal-induced conformational change)²⁵

จากงานวิจัยที่ผ่านมาพบว่าการนำเอาพอร์ไฟรินมาต่อบนแพล็ตฟอร์มคาลิกซ์[4]เอรีน จะทำให้ได้รี่ เซ็บเตอร์ (receptor) ที่มีสมบัติน่าสนใจ ดังนั้นผู้วิจัยจึงมีความสนใจในการสังเคราะห์บิส-คาลิกซ์[4]-พอร์ไฟริน โดยได้ออกแบบในลักษณะที่หน่วยพอร์ไฟรินหันหน้าเข้าหาโพรงของคาลิกซ์[4]เอรีนที่มีสมบัติใน การจับกับซับสเตรท (substrate) ต่างๆ ได้เป็นอย่างดี ซึ่งจะทำให้อนุพันธ์ที่ได้อาจนำมาใช้เป็นเซนเซอร์ สำหรับแอนไอออนหรือโมเลกุลที่เป็นกลางที่น่าสนใจ เช่น กรดอะมิโน หรือนำมาใช้เป็นคะตะลิสต์ ทั้งนี้ เนื่องจากผู้วิจัยเล็งเห็นว่าการเกิดการเปลี่ยนแปลงใดๆ จะมีผลมากเมื่อหน่วยพอร์ไฟรินอยู่ใกล้ซับสเตรท



งานวิจัยนี้จะช่วยให้เข้าใจถึงสมบัติเป็นไอออนเซนเซอร์ของ*บิส*-คาลิกซ์[4]-พอร์ไฟริน ซึ่งอาจนำไป ประยุกต์ใช้ในงานจริงในการวิเคราะห์แอนไอออนหรือโมเลกุลที่เป็นกลางที่สนใจ อีกทั้งยังเพิ่มพูนความรู้ ความเข้าใจในการถ่ายทอดอิเล็กตรอนหรือเกิดปฏิกิริยาออกซิเดชัน สามารถนำไปใช้ทำเป็นคะตะลิสต์ที่ น่าสนใจได้ ซึ่งอาจนำไปใช้ประโยชน์ในอุตสาหกรรมปิโตรเคมีในประเทศไทยได้ อันจะเป็นการช่วยพัฒนา เทคโนโลยีของประเทศไทย

Results

cis-Bis-p-tert-butylcalix[4]-porphyrin (1) and cis-biscalix[4]-porphyrin (2) were synthesized following to Scheme 1.

Scheme 1 synthetic pathway of biscalix[4]-porphyrin 1 and 2 linked in *cis*-fashion.

1. Synthesis of triethylene glycol ditosylate (9)

Into a 100 mL two-necked round bottom flask, 7.51 g (50 mmol) of triethylene glycol, 20.24 g (200 mmol) of triethylamine, 6.11 g (5 mmol) of 4-dimethylaminopyridine and 30 mL of dichloromethane were added. The reaction mixture was chilled in an ice-bath and sitted under nitrogen atmosphere. The solution of 19.06 g (100 mmol) of toluene-4-sulfonyl chloride (TsCl) in 20 mL of dichloromethane was added dropwise. After stirring the reaction mixture for 8 hrs at room temperature, a solution of 3 M hydrochloric acid was slowly added until the solution became acid (pH<1). The reaction mixture was stirred at room

temperature about 30 min. The reaction mixture was extracted with water (2×25 mL) and the organic layer was separated and dried over anhydrous sodium sulfate. The solvent was evaporated to dryness under vacuum to provide light yellow oil. The desire product, triethylene glycol ditosylate (9), was precipitated by diethyl ether to yield a white precipitate with 86% yield (19.72 g). Mp. = 62-64°C, 1 H NMR spectrum (CDCI₃, 400 MHz, δ (ppm)) 7.77 (d, J_{HH} = 8.2 Hz, 4 H, SO₂-o-ArH), 7.32 (d, J_{HH} = 8.2 Hz, 4 H, SO₂-m-ArH), 4.10 (t, J_{HH} = 4.7 Hz, 4 H, OCH₂CH₂OCH₂), 3.60 (t, J_{HH} = 4.7 Hz, 4 H, OCH₂CH₂OCH₂), 3.50 (S, 4 H,OCH₂CH₂OCH₂), 2.42 (S, 6 H, Ar-CH₃); IR spectrum (KBr pellet): 2800-3000 cm⁻¹ (C-H stretching), 1150-1200 cm⁻¹ (C-O-C stretching).

2. Synthesis of 2-(triethylene glycol tosyl)benzaldehyde (10)

Into a 250 mL two-necked round bottom flask equipped with a condenser, 1.22 g (10 mmol) of salicyaldehyde, 13.82 g (100 mmol) of potassium carbonate and 200 mL of acetonitrile were added. The reaction suspension was stirred under nitrogen atmosphere for 1 hr and, the, it was heated. A solution of 9.17 g (20 mmol) of triethylene glycol ditosylate (9) in 50 mL of acetonitrile was added dropwise. After reflux for 18 hrs, the reaction mixture was cooled to room temperature and filtered. The filtrate was dried under vacuum. The obtained residue was dissolved in 100 mL dichloromethane and extracted with 3 M hydrochloric acid (2×50 mL). The organic layer was separated off, washed with water (2×50 mL) and dried over anhydrous sodium sulfate. The solvents were evaporated to dryness to provide viscous light yellow oil. The obtained residue was chromatographed on silica gel using 98/2 : dichloromethane/acetone to provide 2-(triethylene glycol tosyl)benzaldehyde (10) as a viscous light yellow oil with 44% yield (1.40 g) ¹H NMR spectrum (CDCI₃, 400 MHz, δ (ppm)) 10.47 (s, 1 H, ArCHO), 7.79-7.75 (m, 3 H, ArH and ArH_{Ts}), 7.51 (dt, J_{H-H} = 8.7Hz,1 Hz, ArH), 7.31 (d, J_{H-H} = 8.4Hz, 2 H, ArH_{Ts}), 7.05-6.95 (m, 2 H, ArH), 4.22 (t, J_{H-H} = 4.7 Hz, 2 H, ArOCH₂CH₂O), 3.69-3.59 (m, 6 H, ArOCH₂CH₂OCH₂CH₂OCH₂CH₂OTs), 2.24 (s, 3 H, -CH₃)

3. Synthesis of *p-tert*-butylcalix[4]-dibenzaldehyde (11)

Into a 250 mL two-necked round bottom flask equipped with a condenser, 1.62 g (2.5 mmol) of *p-tert*-butylcalix[4]arene, 5.30 g (50 mmol) of sodium carbonate and 150 mL of acetonitrile

were added. The suspension was stirred at room temperature under nitrogen atmosphere for a hour. Then, it was heated and a solution of 2.0423 g (5 mmol) of 2-(triethylene glycol tosylate)benzaldehyde (10) in 50 mL of acetonitrile was added dropwise. The reaction mixture was refluxed for 3 days. After cooling to room temperature, it was filtered. The filtrate was evaporated to dryness under vacuum. The obtained residue was dissolved in 100 mL of dichloromethane and extracted with 3 M of hydrochloric acid until pH<1. The organic layer was separated, dried over anhydrous sodium sulfate and evaporate to dryness to provide light yellow viscous oil. The residue was separated on silica gel using as an eluent to give p-tert-butylcalix[4]-dibenzaldehyde (11) as a yellow viscous oil with 50% (1.40 g). 1 H NMR spectrum (CDCl₃, 400 MHz, δ (ppm))10.48 (s,2H, ArC**H**O), 7.79 (dd, $J_{H,H}$ = 8.5, 1.7 Hz, 2 H, Ar**H**⁶CHO), 7.47 (dt, $J_{H,H}$ = 6.1,1.6 Hz, 2 H, Ar**H**⁴CHO), 7.10 (s, 2 H, ArOH), 6.98-6.34 (m, 2 H, Ar H^5 OCH₂), 6.84 (d, $J_{\mu\mu}$ = 3.9 Hz, 2 H Ar H^3 OCH₂), 7.02 (s, 4 H, C_4H_9 m-Ar $HOCH_2$), 6.73 (s, 4 H, C_4H_9 m-ArHOH), 4.34 (d, J_{HH} = 13.0, 4 H, Ar CH_2Ar), 4.13-4.04 (m, 8 H, OHCArOC H_2 CH₂O), 3.93-3.85 (m, 8 H, C₄H₉ArOCH₂C H_2 OR), 3.26 (d, J_{H-H} = 13.1 Hz, 4 H, ArC H_2 Ar), 1.25 (s, 18 H, OAr-t-C₄ H_9), 0.91 (s, 18 H,OAr-t-C₄ H_9), IR spectrum (KBr pellet): 3300 cm⁻¹ (OH stretching), 3025-3011 (sp^2 -C-H stretching), 2800-3000 cm⁻¹ (sp^3 C-H stretching), 2700, 2800 cm⁻¹ (CHO stretching), 1700 cm⁻¹ (C=O stretching), 1600, 1500 cm⁻¹ (C=C aromatic stretching)

4. Synthesis of calix[4]-dibenzaldehyde (12)

Calix[4]-dibenzaldehyde (**12**) was synthesized by using same procedure as compound **11** but 1.62 g (2.5 mmol) of calix[4]arene, 5.30 g (50 mmol) of sodium carbonate, 150 mL of acetonitrile and 2.0423 g (5 mmol) 2-(triethylene glycol tosylate)benzaldehyde (**10**) were used. After purification by column chromatography (silica gel, 98/2: dichloromethane/acetone), calix[4]-dibenzaldehyde (**12**) was obtained as light yellow viscous oil with 50% (1.40 g). ¹H NMR spectrum (CDCl₃, 400 MHz, δ (ppm))10.48 (s,2H, ArC*H*O), 7.79 (dd, J_{HH} = 8.5, 1.7 Hz, 2 H, Ar*H* 6 CHO), 7.47 (dt, J_{HH} = 6.1,1.6 Hz, 2 H, Ar*H* 4 CHO), 7.10 (s, 2 H, ArO*H*), 6.98-6.34 (m, 2 H, Ar*H* 5 OCH₂), 6.84 (d, J_{HH} = 3.9 Hz, 2 H Ar*H* 3 OCH₂), 7.02 (s, 4 H, C₄H₉ *m*-Ar*H*OCH₂), 6.73 (s, 4 H, C₄H₉ *m*-Ar*H*OH), 4.34 (d, J_{HH} = 13.0, 4 H, ArC*H*₂Ar), 4.13-4.04 (m, 8 H, OHCArOC*H*₂CH₂O), 3.93-3.85 (m, 8 H, C₄H₉ArOCH₂C*H*₂OR), 3.26 (d, J_{HH} = 13.1 Hz, 4 H, ArC*H*₂Ar), 1.25 (s, 18 H, OAr-*t*-C₄*H*₉), 0.91 (s, 18 H,OAr-*t*-C₄*H*₉), IR spectrum (KBr pellet): 3300 cm⁻¹ (OH stretching), 3025-3011 (*sp*²-C-H stretching),

2800-3000 cm $^{-1}$ (sp^3 C-H stretching), 2700, 2800 cm $^{-1}$ (CHO stretching), 1700 cm $^{-1}$ (C=O stretching), 1500, 1600 cm $^{-1}$ (C=C aromatic stretching).

5. Synthesis of bis-p-tert-butylcalix[4]-porphyrin (1)

Into a 100 mL two-necked round bottom flak equipped with a condenser, 30 mL (0.4 mol) of propionic acid, 0.05 g (0.8 mmol) of sodium chloride were introduced. The reaction mixture was stirred at room temperature for 10 min. A solution of 0.45 g (0.4 mmol) of p-tert-butylcalix[4]dibenzaldehyde (11) in 20 mL toluene was added and a solution of 0.05 g (0.8 mmol) of pyrrole in 10 mL toluene was added dropwise. An additional 20 mL of toluene was added and the reaction mixture was refluxed with vigorous stirring for 2 hrs. The solvents were evaporated off under reduce pressure. The obtained residue was dissolved in 100 mL dichloromethane and extracted with a saturated solution of sodium bicarbonate (2×50 mL). The organic layer was separated and washed with water (2×50 mL), dried over anhydrous sodium sulfate and evaporate to dryness to provide light yellow viscous oil. The residue was chromatographed on silica gel using as 98/2 : dicloromethane/ethyl acetate as an eluent to afforded bis-p-tert-butylcalix[4]-porphyrin (4) as a purple solid with 9% yield (0.48 g). Mp.> 270 °C 1 H NMR spectrum (CDCI $_{3}$, 400 MHz, δ (ppm)) 8.74 (d, J_{H-H} = 10.4 Hz, 8 H, β -Ar $\boldsymbol{H}_{porphyrin}$), 7.92 (d, J_{H-H} = 6.7 Hz, 4 H, Ar \boldsymbol{H}), 7.70 (t, J_{H-H} = 6.8 Hz, 4H, Ar \boldsymbol{H}), 7.24 (s, 8 H, m-Ar \boldsymbol{H}_{calix}), 6.92 (s, 8 H, m-Ar \boldsymbol{H}_{calix}), 6.74-6.58 (m, 8 H, Ar \boldsymbol{H}), 3.98 (d, J_{H-H} = 4.6 Hz, 8 H, ArC H_2 Ar), 3.70 (dt, J_{H-H} = 9.1 Hz, 3.5 H, ArOC H_2 CH₂O), 3.02-2.82 (m, 16 H, tBu - $ArOCH_2CH_2O$), 2.03 (d, $J_{H,H}$ =4.6 Hz, 8 H, $ArCH_2Ar$), 1.25 (s, 9 H, $Ar-t-C_4H_9$), 0.87 (s, 18 H, HOAr-t- $C_4 H_9$); IR spectrum (KBr pellet) : 3457 cm⁻¹ (br, N-H และ O-H stretching), 2980, 2972 และ 2885 cm⁻¹ ¹ (C-H stretching),1500, 1450 cm⁻¹ (C-C aromatic stretching).

6. Synthesis of biscalix[4]-porphyrin (2)

Biscalix[4]-porphyrin (**2**) was synthesized by using same procedure as compound **1** but 0.45 g (0.4 mmol) of calix[4]-dibenzaldehyde (**12**), 0.05 g (0.8 mmol) pyrrole. After purification by column chromatography (silica gel, 98/2 : dicloromethane/ethyl acetate), calix[4]-porphyrin (**2**) was separated in 9% yield (0.48 g) as a purple solid. Mp.> 270 °C, 1 H NMR spectrum (CDCl₃, 400 MHz, δ (ppm)) 8.74 (d, J_{HH} = 10.4 Hz, 8 H, β -Ar $H_{porphyrin}$), 7.92 (d, J_{HH} = 6.7 Hz, 4 H, ArH), 7.70 (t, J_{HH} =

6.8 Hz, 4H, Ar \boldsymbol{H}), 7.24 (s, 8 H, m-Ar \boldsymbol{H}_{calix}), 6.92 (s, 8 H, m-Ar \boldsymbol{H}_{calix}), 6.74-6.58 (m, 8 H, Ar \boldsymbol{H}), 3.98 (d, J_{H-H} = 4.6 Hz, 8 H, ArC \boldsymbol{H}_2 Ar), 3.70 (dt, J_{H-H} = 9.1 Hz, 8 H, ArOC \boldsymbol{H}_2 CH $_2$ O), 3.02-2.82 (m, 16 H, tBu -ArOCH $_2$ C \boldsymbol{H}_2 OC \boldsymbol{H}_2), 2.03 (d, J_{H-H} = 4.6 Hz, 8 H, ArC \boldsymbol{H}_2 Ar), 1.25 (s, 36 H, Ar-t-C $_4\boldsymbol{H}_9$), 0.87 (s, 36 H, HOAr-t-C $_4\boldsymbol{H}_9$); IR ជារាគ្រាទីរ (KBr pellet) : 3457 cm $^{-1}$ (br, N-H and O-H stretching), 2980, 2972 and 2885 cm $^{-1}$ (C-H stretching),1500, 1450 cm $^{-1}$ (C-C aromatic stretching).

For biscalix[4]-porphyrin **3** and **4** which linked in a *trans*-fashion were synthesized following scheme 2.

Scheme 2 Synthetic pathway of *trans*-biscalix[4]-porphyrin **3** and **4**.

7. Synthesis of calix[4]-bisdipyrrolemethane (14)

A 25 mL round bottom flask sealed with rubber septum and wrapped with aluminum foil containing 1.44 g (1.60 mmol) 1,3-calix[4]-dialdehyde (12) and 11 mL (160 mmol) of pyrrole was bubble with nitrogen for 15 min. 25 μ L (0.32 mmol) of trifluoroacetic acid (TFA) were added via

microsyringe. The reaction solution was stirred at room temperature under nitrogen atmosphere for 15 min. The reaction was monitor by TLC where compound **14** gave a reddish rose with liquid bromine. The reaction was quenched with 20 mL saturated solution of sodium bicarbonate. The organic layer was separated and the aqueous layer was washed with dichloromethane. The combined organic layer was dried over anhydrous sodium sulfate and evaporated to dryness. The obtained residue was separated on silica gel using 98/2: dichloromethane/ethyl acetate as eluent. Calix[4]-bisdipyrrolemethane (**14**) was obtained as a light brown viscous oil with 71 % yield (1.28 g). ¹H NMR spectrum (CDCl₃, 400 MHz, δ (ppm)) 8.88 (s(br), 4 H, N*H*), 7.70 (s, 2 H, O*H*), 7.26 (d, J_{HH} = 7.6 Hz, 2 H, Ar*H*), 7.20 (t, J_{HH} = 7.8 Hz, 2 H, Ar*H*), 7.10 (d, J_{HH} = 7.6 Hz, 4 H, Ar*H*), 6.93 (t, J_{HH} = 7.6 Hz, 2 H, Ar*H*), 6.87 (d, J_{HH} = 5.6 Hz, 4 H, Ar*H*), 6.78-6.69 (m, 10 H, Ar*H*), 6.67 (d, J_{HH} = 1.6 Hz, 4 H, Ar*H*_{pyrrole}), 6.12 (t, J_{HH} = 2.8 Hz, 4 H, Ar*H*_{pyrrole}), 5.96 (s, 4 H, Ar*H*_{pyrrole}), 5.68 (s, 2 H, Ar*H*_{pyrrole}), 4.41 (d, J_{HH} = 13.0 Hz, 4 H, ArC*H*₂Ar), 4.11-4.08 (m, 4 H, OC*H*₂), 3.93-3.89 (m, 8 H, OC*H*₂), 3.88-3.84 (m, 4 H, OC*H*₂), 3.76-3.64 (m, 4 H, OC*H*₂), 3.37 (d, J_{HH} = 13.0 Hz, 4 H, ArC*H*₂Ar).

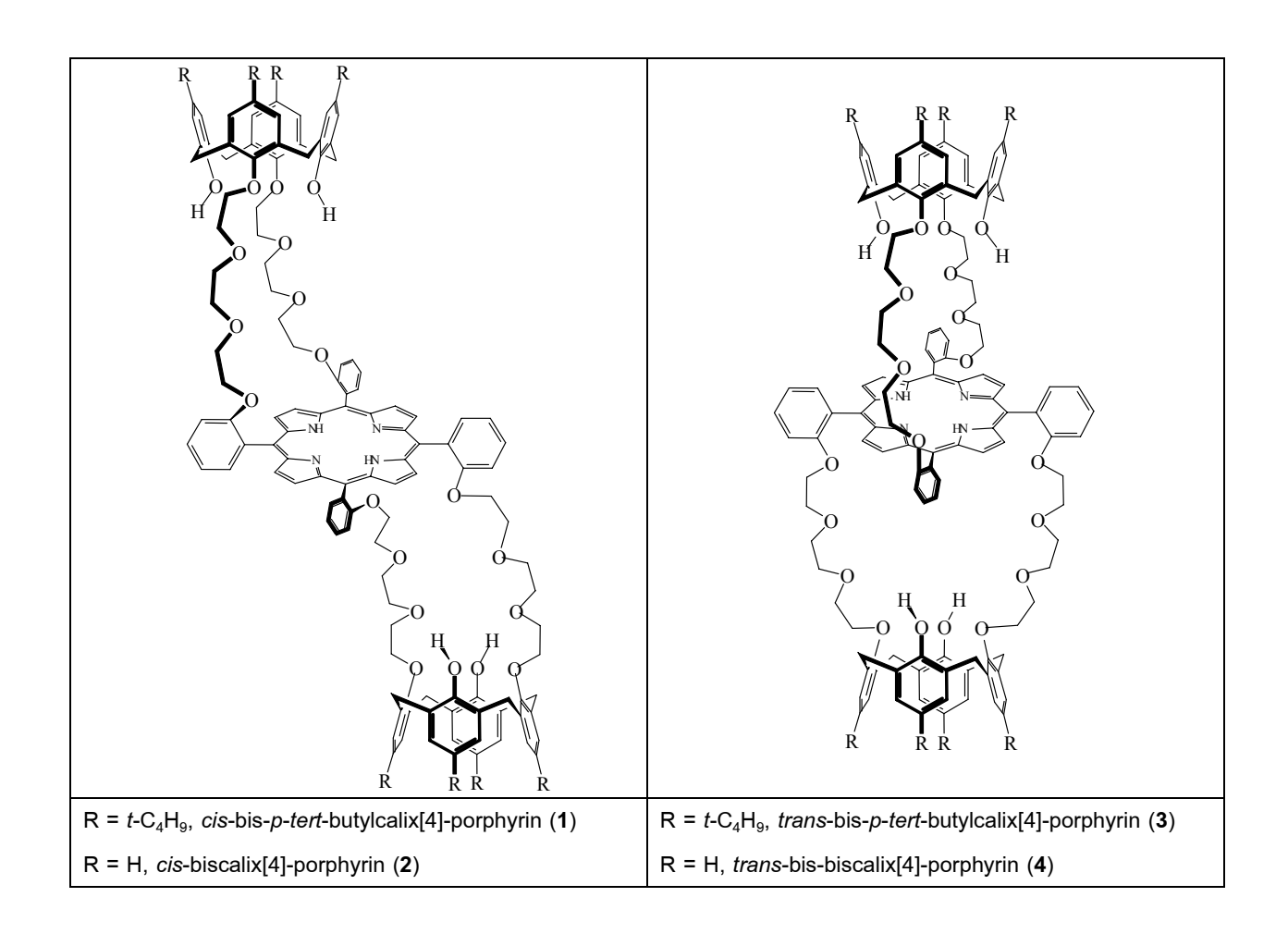
8. Synthesis of trans-biscalix[4]-porphyrin (4)

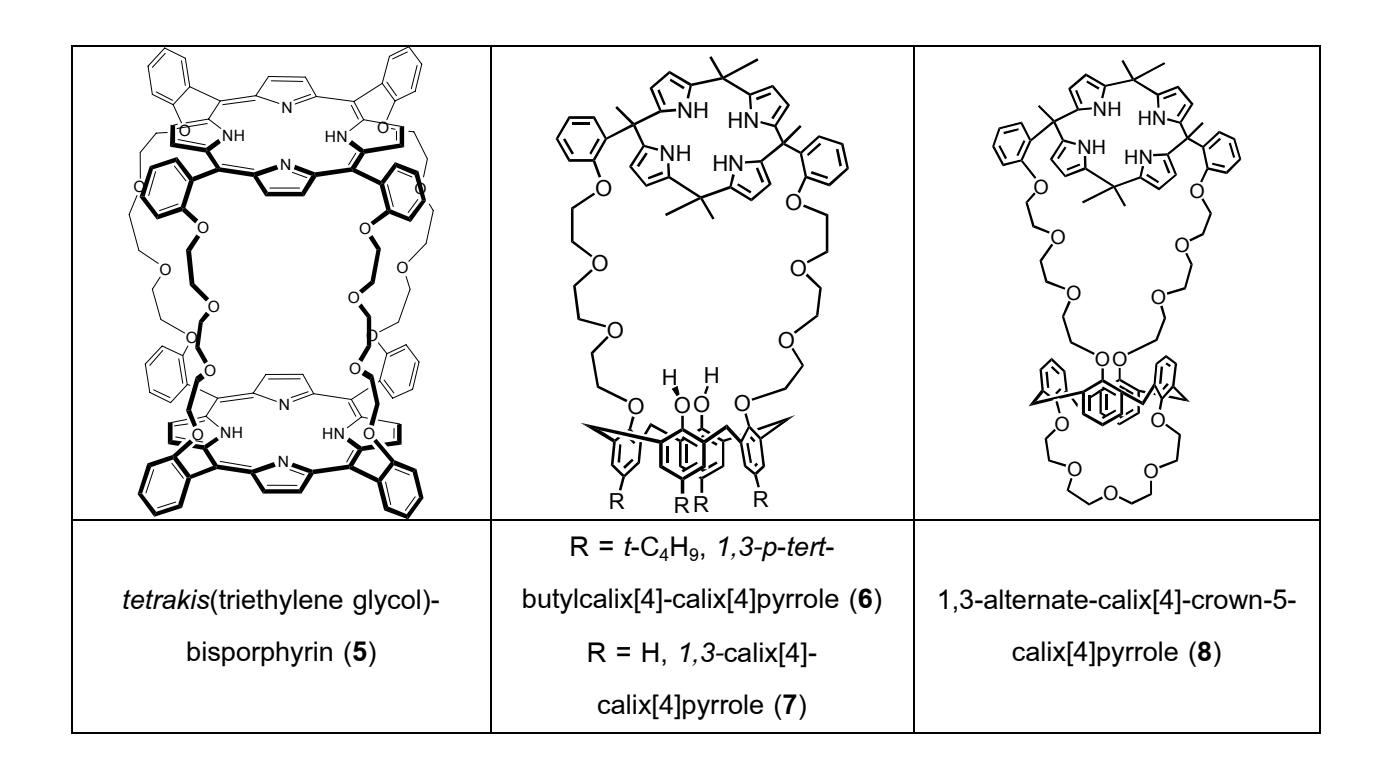
Into a 100 mL round bottom flask sealed with rubber septum and wrapped with aluminum foil, 0.26 g (0.23 mmol) of calix[4]-bisdipyrrolemethane (14), 0.21 g (0.23 mmol) of 1,3-calix[4]-dialdehyde (12) and 50 mL of dichloromethate were added. The reaction mixture was purged with nitrogen for 15 min and, then, 6.4 μ L (5 μ mol) of boron trifluoride etherated charged. The reaction mixture was stirred over night under nitrogen atmosphere and, then, 0.21 g (0.92 mmol) of dicyanodichloroquinone (DDQ) was added. The reaction mixture was stirred for additional 2 hrs. The solvent was removed under pressure to provide a dark residue. The residue was purified on silica gel using 95/5: dichloromethane/acetone as eluent to afford *trans*-biscalix[4]-porphyrin (4) a purple solid with 24 % yield (0.11 g). ¹H NMR spectrum (CDCI₃, 400 MHz, δ (ppm)) 8.83 (s, 8 H, β -Ar $H_{porphyrin}$), 7.88 (d, J_{HH} = 7.2 Hz, 4 H, ArH), 7.72 (t, J_{HH} = 7.2 Hz, 4 H, ArH), 7.30 (s, 4 H, OH), 7.15 (d, J_{HH} = 8.0 Hz, 4 H, ArH), 6.86 (d, J_{HH} = 7.6 Hz, 8 H, ArH), 6.76 (d, J_{HH} = 7.2 Hz, 8 H, ArH), 6.68 (t, J_{HH} = 7.4 Hz, 4 H, ArH), 6.52 (t, J_{HH} = 7.4 Hz, 4 H, ArH), 3.67-3.66 (m, , 8 H, OC H_2), 3.56 (d, J_{HH} = 13.2 Hz, 8 H, ArH2, 2.95 (d, J_{HH} = 13.2 Hz, 8 H, ArH3, 2.81-2.79 (m, , 8 H, OC H_2 3), 2.30 (s(br), 8 H, OC H_2 3), 1.95-1.92 (m, , 16 H, OC H_2 4), 1.56-1.54 (m, , 8 H, OC H_2 5), 1.30 (s, 8 H, OC H_2 6). Mp. > 270 $^{\circ}$ C.

เอกสารอ้างอิง

- 1. Ludwig, R. Fresenius J. Anal. Chem. 2000, 367, 103 128.
- 2. Biesaga, M.; Pyrzyńska, K.; Trojanowicz, M. Talanta 2000, 51, 209-224.
- 3. De Vos, D. E.; Jacobs, P. A. Cat. Today 2000, 57, 105-114.
- 4. Shoichi, S.; Seiji, S.; Yasuyuki, S.; Choichiro, H. *Angew. Chem. Int. Ed. Engl.*, 2000, 39, 1256 1259.
- 5. Gutsche, C.D. "Calixarenes"-Monographs in Supramolecular Chemistry, J.F. Stoddart (Ed.) The Royal Society of Chemistry, Cambridge, 1989.
- Calixarenes-A Versatile Class of Macrocyclic Compounds, J. Vicens, V. Bohmer (Eds.), Kluwer Academic Publishers, Dordrecht, 1991.
- 7. A. Pochini, R. Ungaro, "Calixarenes and Related Hosts"-Comprehensive Supramolecular Chemistry, J.L. Atwood, J.E.D. Davies, D.D. MacNicol, F. Vogtle (Executive Eds.), J.-M. Lehn (Chairman of the Editorial Board), Elsevier Science Ltd., 1996.
- 8. van Loon, J.-D.; Verboom, W.; Reinhoudt, D.N. Org. Prep. Proced. Int, 1992, 24, 437.
- 9. Asfari, Z.; Pappalardo, S.; Vicens, J. J. Inc. Phenom., Mol. Recogn., 1992, 14, 189.
- 10. Pulpoka, B.; Asfari, Z.; Vicens, J. Tetrahedron Lett., 1996, 6315.
- 11. Rudkevich, D.M.; Mercer-Chalmers, J.D.; Verboom, W.; Ungaro, R.; de Jong, F.; Reinhoudt, D.N. J. Am. Chem. Soc., 1995, 117, 6124.
- 12. Pulpoka, B.; Asfari, Z.; and Vicens, J. Tetrahedron Letters, 1996, 8747.
- 13. Pulpoka, B.; Jamkratoke, M.; Tuntulani, T.; Ruangpornvisuti, V. *Tetrahedron Lett.*, 2000, 41, 9167.
- 14. "The Porphyrin Handbook", Karl M. Kadish , K.M.; Smith , K.M.; Guilard R. (Editors), Academic Press, New York, 1999.
- 15. Merlau, M.L.; Grande, W.; Nguyen, S.T.; Hupp, J.T. J. Mol. Cat A: Chem., 2000, 156, 79.
- 16. Wang, X.-Q.; Gao, S.; Cao, C.-S.; Yu, L.-X.; Guo, J.-F.; Cao, Z.-X. *J. Porphyrins Phthalocyanines*, 1998, 2, 209.
- 17. Macdonald, I.J.; Dougherty, T.J. J. Porphyrins Phthalocyanines, 2001, 5, 105.
- 18. Asfari, Z.; Vicens, J.; Weiss, J. Tetrahedron Lett., 1993, 34, 627.
- 19. Rudkevich, D.M.; Verboom, W.; Reinhoudt, D.N. Tetrahedron Lett., 1994, 35, 7131.
- 20. Rudkevich, D.M.; Verboom, W.; Reinhoudt, D.N. J. Org. Chem., 1995, 60, 6585.

- 21. Nagasaki, T.; Fujishima, H.; Shinkai, S. Chem. Lett., 1994, 989.
- 22. Nagasaki, T.; Fujishima, H.; Takeuchi, M.; Shinkai, S. J. *Chem. Soc. Perkin Thans.1*, 1995, 1883.
- 23. Milbradt, R.; Weiss, J. Tetrahedron Lett., 1995, 36, 2999.
- 24. Arimura, T.; Brown, C.T.; Springs, S.L.; Sessler, J.L. *J. Chem. Soc., Chem. Commun.*, 1996, 2293.
- 25. Kawaguchi, M.; Ikeda, A.; Hamachi, I.; Shinkai, S. Tetrahedron Lett., 1999, 40, 8245.





ลงนาม	l
-------	---

(นายบัญชา พูลโภคา) หัวหน้าโครงการ วันที่ 26 กุมภาพันธ์ 2552

Calix[4]arene-strapped Calix[4]pyrrole and Crown-5 as a Potassium Fluoride Receptor

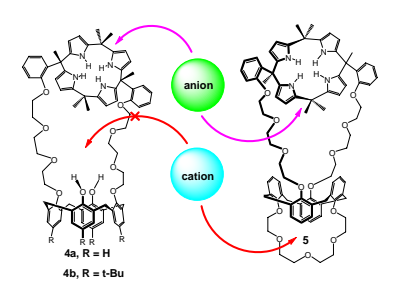
Songtham Ruangchaithaweesuk¹, Nongnuj Muangsin¹, Palangpol Kongseree², Shavang Pakavatchai³, Saowalux Fuangsawadi¹, Thawatchai Tuntulani¹, Buncha Pulpoka^{1,*}

¹Supramolecular Chemistry Research Unit and Organic Synthesis Research Unit, Department of Chemistry, Faculty of Science, Chulalongkorn University, Bangkok 10330, Thailand.

buncha.p@chula.ac.th

Received Date (will be automatically inserted after manuscript is accepted)

ABSTRACT



Calix[4]arene-calix[4]pyrrole (4a), p-tert-butylcalix[4]arene-calix[4]pyrrole (4b) and 1,3-alternate-calix[4]arene-calix[4]pyrrole-crown-5 (5) have been synthesized and characterized by 1 H, 13 C NMR, Mass, elemental analysis and X-ray single crystal analysis. The ion-pair binding studies revealed that ligand 4a showed strong binding with F and CI, but could not accommodated K, while ligand 5 act as an ion pair receptor. It was also demonstrated that K was encapsulated by the crown ether moiety whereas F was bound with calix[4]pyrrole unit. The different bahaviors of F binding were found. For ligand 4a, the F was accommodated in an exo-fashion whereas , in ion-pair receptor 5, the F was encapsulated inside the cavity by calix[4]pyrrole unit (endo-fashion).

Recognition of ion pair is one of the most interesting subject in recent years. The design and synthesis of synthetic ion pair receptors possessing high affinity and adequate selectivity for various targeted substrates represents an ongoing challenge in the area of supramolecular chemistry.¹ The ion pair receptor

²Department of Chemistry, Faculty of Science, Mahidol University, Bangkok 10400 Thailand.

³Department of Chemistry, Faculty of Science, Prince of Songkhla University, Songkhla, 90110, Thailand.

composes of cation and anion binding sites held together in a close proximity or grafted on a molecular framework to provided contact ion pair or spatially separated ion pair receptor respectively.² The former system may exhibit

^{(1) (}a) Lehn, J.-M. Supramolecular Chemistry, Concepts and Perspectives; WCH: Weinheim, Germany, **1995**. (b) Sessler, J. L.; Gale, A. P.; Cho, W.-S. *Anion Receptor Chemistry*; The Royal Society of Chemistry: Cambridge, **2006**. (c) Davis, A. P.; Sheppard, D. N.; Smith,

<sup>B. D. Chem. Soc. Rev. 2007, 36, 348. (d) Sisson, A. L.; Shah, M. R.;
Bhosale, S.; Matile, S. Chem. Soc. Rev. 2006, 35, 1269. (e) Pfeifer, J. R.;
Reiss, P.; Koert, U. Angew. Chem., Int. Ed. 2006, 45, 501. (f) Gokel, G.
W.; Leevy, W. M.; Weber, M. E. Chem. Rev. 2004, 104, 2723.
(2) (a) Kirkovits, G.J.; Shriver, J.A.; Gale, P.A. Sessler, J.L J. Inclu.</sup>

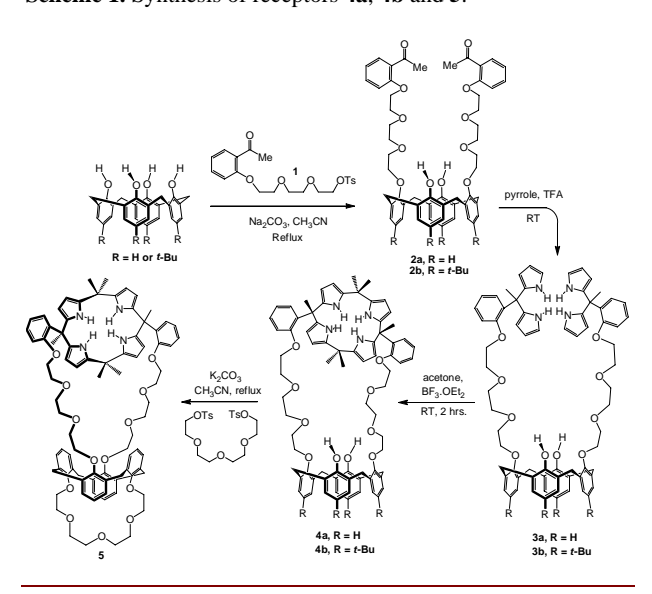
^{(2) (}a) Kirkovits, G.J.; Shriver, J.A.; Gale, P.A. Sessler, J.L *J. Inclu. Phenom. Macro. Chem.* **2001**, *41*, 69. (b) Kaewtong, C.; Fuangswasdi, S.; Muangsin, N.; Chaichit, N.; Vicens, J.; Pulpoka B. *Org. Lett.* **2006**,

allosteric effect more than the latter and its selectivity toward anion depends on the metal ion bounded³ or vice versa. By contrast, the spatially separated ion pair receptor possesses less allosteric effect and its selectivity depends mainly on the intrinsical properties of binding units.^{2c} Nowaday, the simultaneous analysis of ion pair has increasing request in order to response to basic needs of analysis; accuracy, rapidity, economy and simplicity of the method. A need for simultaneous determination of potassium and fluoride ions in a carries and dentinal hypersensitivity prevented toothpast is still seeking for a suitable method.⁴

Calix[4]arene is a very attractive scaffold that can be used as a platform for designing more sophisticated structure for binding ions and neutral molecules. Thus, several neutral ditopic receptors binding cooperatively metal ions and their counterions have been developed from calix[4]arenes. As calix[4]-crown-5 is well-known to be a very high K^+/Na^+ selective receptor and calix[4]pyrrole has been identified as one of the most attractive hosts for the binding of fluoride anions, they are aimed to be integrated on the same molecular scaffolf to provide a highly selective potassium and fluoride receptor to use in simultaneous potassium and fluoride determination.

Herein, we describe the synthesis of receptor 4a, 4b and 5 including their coordination behavior toward anions and cations. The synthesis was started by preparation of 2-(8-tosyltriethyleneglycol)acetophenone (1), an alkylating agent for calix[4] arene, by reacting triethvlene glycol ditosylate with 2-hydroxy acetophenone using excess K2CO3 as base in acetonitrile (30% yield). A distal disubstitution of calix[4]arene or ptert-butylcalix[4] arene by 2 equiv. of 1 using K₂CO₃ as a base in acetonitrile gave **2a** (85%) and **2b** (63 %). 25,27-Calix[4]-bis-dipyrromethane (3a and 3b) were obtained by direct condensation between 2a, 2b and pyrrole using TFA as catalyst in dried CH₂Cl₂ for 15 min in 61% and 35% yields respectively. Compounds 3a and 3b were cyclized by acetone in the presence of BF₃.OEt₂ as catalyst to afford the desired receptors 4a (37%) and 4b (33%). In both compounds, calix[4]arene unit exists in cone conformation due to a presence of doublet signals of ArC H_2 Ar at 3.39, 4.40 and 3.33, 4.36 ppm ($J_{H-H} = 13.0$ Hz) for **4a** and **4b**, respectively. The synthesis of compound **5** was accomplished by the reaction **4a** with tetraethylene glycol ditosylate in an excess of K_2CO_3 in refluxing acetonitrile for 3 days. The obtained residue was separated by column chromatography to provide a white solid of **5** (68%). MALDI-TOF MS, ¹H-NMR and elemental analysi were in good agreement with the proposed structure of desired products **4a**, **4b** and **5**.

Scheme 1. Synthesis of receptors 4a, 4b and 5.



(11) X-ray data were collected on a Bruker SMART CCD area detector. The crystal structure was solved by direct methods and refined by full-matrix least-squares. All non-hydrogen atoms were refined anisotropically, and hydrogen atoms were refined using the riding model. All calculations were performed using a crystallographic software package, WinGX $\sqrt{1.64}$ 65. Crystal data for 4a: $C_{78}H_{86}N_4O_{12}$, $M_r = 1424.90$, monoclinic, space group $P2_{1/n}$, a = 18.7183(9) Å, b = 19.1141(9) Å, c = 19.5849(9) Å, $a = 90.0^{\circ}$, $B = 96.4980(10)^{\circ}$, $\gamma = 90.0^{\circ}$, V = 6962.1(6) Å³, Z = 4, $\rho_{calc} = 1.713$ g dm³, $Z_{max} = 25^{\circ}$, Mo $K\alpha$ ($\lambda = 0.71073$ Å), $\mu = 0.082$ mm; θ ϕ scans, T = 293(2) K, 66366 independent reflections, 12256 unique reflections ($I > 2.0\sigma(I)$), 870 refined parameters, RI = 0.1080, Rw = 0.2995, $\Delta \rho_{max} = 2.386$ e Å³, $\Delta \rho_{min} = -0.327$ e Å³; CCDC 638262. See Supporting Information for crystallographic data in CIF format.

^{8, 1561. (}c) Sessler, J.L.; Kim, S.K.; Gross, D.E.; Lee, C.-H.; Kim, J.S.; Lynch, V.M. *J. Am. Chem. Soc.* **2008**, *130*, 13162.

⁽³⁾ Mahoney, J.M.; Beatty, A.M.; Smith, B.D. J. Am. Chem. Soc. 2001, 123, 5847.

⁽⁴⁾ Pérez-Olmos, R.; Soto, J.C.; Zárate, N.; Díez, I. J. Pharm. Biomed. Anal. **2008**, *47*, 170.

^{(5) (}a) Lumetta, G. J.; Rogers, R. D.; Gopalan, A. S. "Calixarenes for separations" American Chemical Society, Washington, DC, **2000**. (b) "Calixarenes 2001", Asfari, Z.; Böhmer, V.; Harrowfield, J. (Eds), Kluwer Academic Publishers, Dordretch, **2001**.

^{(6) (}a) Tumcharern, G.; Tuntulani, T.; Coles, S. J.; Hursthouse, M. B.; Kilburn, J. D. *Org. Lett.* **2003**, *5*, 4971. (b) Tongraung, P.; Chantarasiri, N.; Tuntulani, T. *Tetrahedron Lett.* **2003**, *44*, 29. (c) Webber, P. R. A.; Beer, P. D. *Dalton Trans.* **2003**, 2249. (d) Nabeshima, T.; Saiki, T.; Iwabuchi, J.; Akine, S. *J. Am. Chem. Soc.* **2005**, *127*, 5507.

⁽⁷⁾ Ghidini, E.; Ugozzoli, F.; Ungaro, R.; Harkema, S.; El-Fadl, A.A.; Reinhoudt, D.N. *J. Am. Chem. Soc.*, **1990**, *112*, 6979.

^{(8) (}a) Gale, P. A.; Anzenbacher Jr., P.; Sessler, J. L. Coord. Chem. Rev. 2001, 222, 57. (b) Sessler, J. L.; Gale, P. A. in The Porphyrin Handbook, Vol. 6 (EDS.: Kadish, K. M.; Smith, K. M.; Guilard, R.) Academic Press, Sandiego, 2000, chap.45. (c) Sessler, J. L.; Anzenbacher Jr. P.; Mitaji, H.; Jursikova, K.; Bleasdale, E. R.; Gale. P. A. Ind. Eng. Chem. Res. 2000, 39, 3471.

Figure 1. ORTEP drawing of **4a**. Displacement ellipsoids are scaled to the 50% probability level.

The solid structure of **4a**,¹¹ calix[4]arene unit was in a pinched cone conformation stabilized by two O-H of calix[4]arene unit. In contrast to calix[4]arene platform, the calix[4]pyrrole unit adopted in a 1,3-alternate conformation and showed hydrogen bonding of pyrrolic N-H to oxygen of glycolic chain which led calix[4]pyrrole to bend down to calix[4]arene unit and destroy the symmetry of the molecule in Figure 1.

The complexation studies of the synthesized ligands **4a** and **5** were carried out with TBAX and potassium salts by using ¹H-NMR and UV-vis spectroscopies.

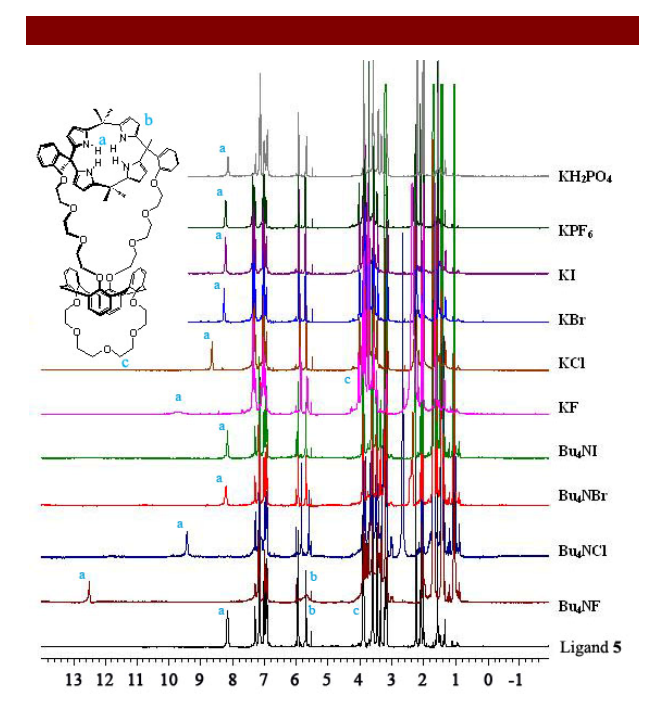
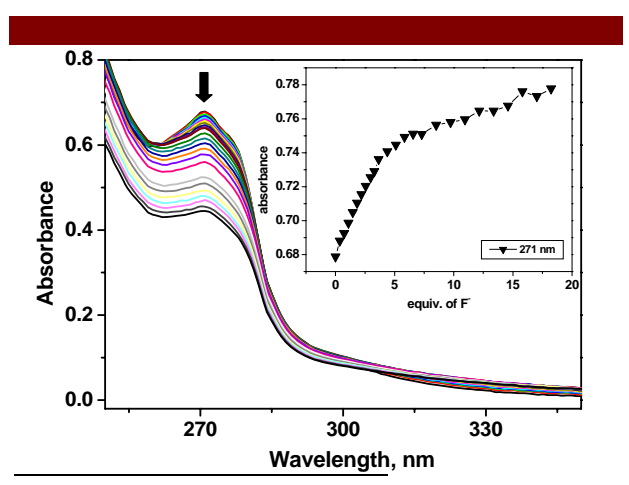


Figure 2. 1 H NMR spectra (400 MHz) of complexes obtained upon addition of NBu₄ $^{+}$ X $^{-}$ and K $^{+}$ X $^{-}$ (10 equiv.) into a CDCl₃:CD₃CN (1:9) solution of **5**.

The ability of **4a** and **5** to include anions were investigated by ¹H NMR spectroscopy. Deuterated solutions of **4a** and **5** were reacted with 10 equiv of tetrabutylammonium halides (NBu₄⁺X⁻) and potassium salts. All of the resulting ¹H NMR spectra (see Figure 2

and S1 in the Supporting Information (S.I.)), significant chemical shifts were observed with F, Cl, KF and KCl, while, according to ¹H NMR spectra, no changes of the free ligand were found for the rest of the anions and salts investigated (Br, I, KBr, KI and KPF₆).

The downfield shift of NH signal in both receptors complexing with F ion were greater than that of with Cl ion impling that receptor 4a and 5 interacted with F ion stronger than Cl⁻ ion. In addition, the β -pyrrolic signals of the free ligand became a broad signal upon complexation with Bu₄NF, but did not change with Bu₄NCl. This implied that the conformation of the calix[4]pyrrole moiety changed from 1,3-alternate to cone conformation upon complexation with Bu₄NF as previous reported for F ion complexation. 12 The conformation change upon complexation with with Bu₄NCl was not observed. According to ¹H NMR titration experiments, the association constants (Ka) were estimated by using the EQNMR computer program.¹³ The finding revealed that K_a of 5 with fluoride anion and chloride anion were 1721 and 457 M⁻¹ in 1:1 (ligand:receptor) ¹⁴, respectively but could not interpret Ks of ligand 4a in this technique. Titration profiles are presented in Figure S6, S7 and S8. However, in the case of 4a•F, the complex was observed indicated that calix[4]pyrrole unit could accommodated F when TBA acted as a counter cation which occurred in an exo-fashion and made cation located outside the cavity. The results corresponded to the anion binding ability of the calix[4]pyrrole-parent system. ¹⁵ To furter proved, UV-vis spectroscopy was empolyeed to evaluate the binding abilities of ligands with anions (see Figure 3 and Figure S3 in S.I.). In all cases, hypochromic shifts were observed upon addition of TBA⁺X⁻ into solutions of 5 and 4a. The stoichiometries and stability constants of the complexes were refined by the SIRKO program¹⁶ and showed 55,793 M⁻¹ and 2,328 M⁻¹ with F⁻ for **4a** and **5**, respectively.



- (12) Gale, P.A.; Sessler, J.L.; Král, V. Chem. Commun. 1998, 1.
- (13) Hynes, M. J. J. Chem. Soc., Dalton Trans. 1993, 311.
- (14) Ligand-to-anion stoichiometries were determined from Job's plots as showed Figure S2 in suporting information.
- (15) Gale, P. A.; Sessler, J. L.; Kral, V.; Lynch, V. J. Am. Chem. Soc. 1996, 118, 5140.
- (16) Vetrogon, V. I.; Lukyanenko, N. G.; Schwing-well, M. J.; Arnaud-Neu, F. *Talanta* **1994**, *41*, 2105.

Figure 3. Spectral change in the UV-vis absorption of 5 ($C_L = 8.30 \times 10^{-5}$ M) upon addition of F⁻ ($C_A = 0.87 \times 10^{-3}$ M) in CH₃CN ($0 \le C_A/C_L \le 18.5$).

Moreover, ligand 4a and 5 were also studied the complexation to be a heteroditopic receptor by various potassium salts, (i.e., KF, KCl, KBr, KI, KH₂PO₄, KPF₆). The complexation studies showed that calix[4]arenecalix[4]pyrrole (4a) could not act as ion pair receptor because ligand 4a could not bind K⁺ with its glycol chains as seen in the case of complexations of ligand 4a with KPF₆ and potassium picrate as demonstrated in Figure 1 and S4. This might be due to that the cavity of **4a** is too large for K⁺ and some of the oxygen lone pairs are pointing outwards¹⁷ (Figure 1). In addition, calix[4]pyrrole moiety could no longer bind F when there was K⁺ as a counter ion. In the other hand, ligand 5 can behave as heteroditopic receptors able to simultaneously encapsulate K+ in the crown ether loop not in the triethylene glycol linkage¹⁸ which is suitable cavity size for binding potassium ion¹⁹. Moreover, it interacted with F stronger than other putative anionic guests (viz. Cl⁻, Br⁻, I⁻, H₂PO₄⁻ and PF₆⁻). These may be due to the ability of fluoride anion that can form a strong hydrogen bonding with calix[4]pyrrole.

In the case of complexation with potassium salts, the anions located in cavity containing calix[4]pyrrole of 5 (endo complex) to compensate the charge separation and observed unchange conformation of calix[4]pyrrole. Whereas, using tetrabutylammonium salts in the presence of KPF₆ (potassium cation resided in the crown ether loop), the anions were bound by calix[4]pyrrole unit and the 1,3-alternate-to-cone conformation change of calix[4]pyrrole was observed in the case of fluoride ion (Figure 4).

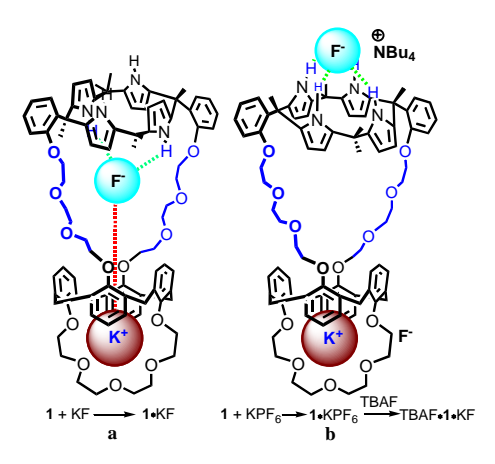


Figure 4. The proposed complex structure of (a) ligand 5 with Bu_4NF in the presence of KPF_6 and (b) ligand 5 with KF.

Indeed, ¹H-NMR spectra Figure S9, upon addition of 0-1 equiv. of Bu₄NF into a solution of complexes 5•KPF₆, the displacement of NH protons signal was not observed which indicates the complexation of 5 with F was not occurred. But after addition 1.0-2.0 equiv. of Bu₄NF, the NH signal showed a obviously slightly downfield shift. This result shows the exchange anion mechanism (PF₆ to F before complexation following conformation change which confirmed by the coalesce of two sharp singlets of β -pyrrolic protons at 5.93 and 5.72 ppm. In conclusion, the hybrid receptors 5, 4a and 4b containing both anion (calix[4]pyrrole) and cations (crown, calix[4]arene, glycol chain) were synthesized. The complexation with TBAF and KF showed that ligand 5 and 4a could be an anion receptors, especially for F. Only ligand 5 could act as an ion pair receptor. Interestingly, the conformation of calix[4]pyrrole can be controled by the type of potassium salts. 1,3-alternate conformation of calix[4]pyrrole was shown by using KF which induces endo-complex type of anions. In contrst, 5 complexes with KPF₆, followed by Bu₄NF, makes possible cone conformation of calix[4]pyrrole and exocomplex which has TBA⁺ as a counter ion.

Acknowledgment. The authors gratefully acknowledge the Thailand Research Fund (RSA/06/2545) and Chulalongkorn University (90th Anniversary Fund from Rachadapiseksompod Endowment) for financial support. We also thank Assistant Prof. Dr. Polkit Sangvanich for MALDI-TOF MS analysis.

Supporting Information Available: Experimental procedures and characterization data for all new compounds including NMR spectra, spectroscopic data and crytal structure of calix[4]arene-calix[4]pyrrole (**4a**) (CIF) are available free of charge via the Internet at http://pubs.acs.org.

^{(17) (}a) Abidi, R.; Asfari, Z.; Harrowfield, J. M.; Sobolev, A. N.; Vicens, J. *Aust. J. Chem.* **1996**, *49*, 183. (b) Asfari, Z.; Harrowfield, J. M.; Sobolev, A. N.; Vicens J. *Aust. J. Chem.* **1994**, *47*, 757.

⁽¹⁸⁾ From the complexation of ligand 5 with potassium picrate and KPF₆, the signals of glycolic chain of the crown ether loop at 3.22 and 3.38 ppm disappeared and detected the new signals at 3.78 and 4.09 ppm, the doublet of the Ar-H of the calix[4]arene at 7.17 ppm disappeared and the new signals at 7.01 and 7.38 ppm were found instead are demonstrated in Figures 2 and S5.

⁽¹⁹⁾ Kim, J. S.; Rim, J. A.; Shon, O. J.; Noh, K. H.; Kim, E. H.; Cheong, C.; Vicens, J. *J. Incl. Phenom.* **2002**, **43**, 51.

Graphical Abstract

To create your abstract, type over the instructions in the template box below. Fonts or abstract dimensions should not be changed or altered.

Click here

Type the title of your article here

Authors' names here Departmental address here

Click here to include graphical abstract text.

Leave this area blank for abstract info.

and insert/paste graph



TETRAHEDRON LETTERS

Concise synthesis of bisporphyrins and their C_{60} complexes

Thanit Praneenararat, Saowarux Fuangsawadi, Buncha Pulpoka*

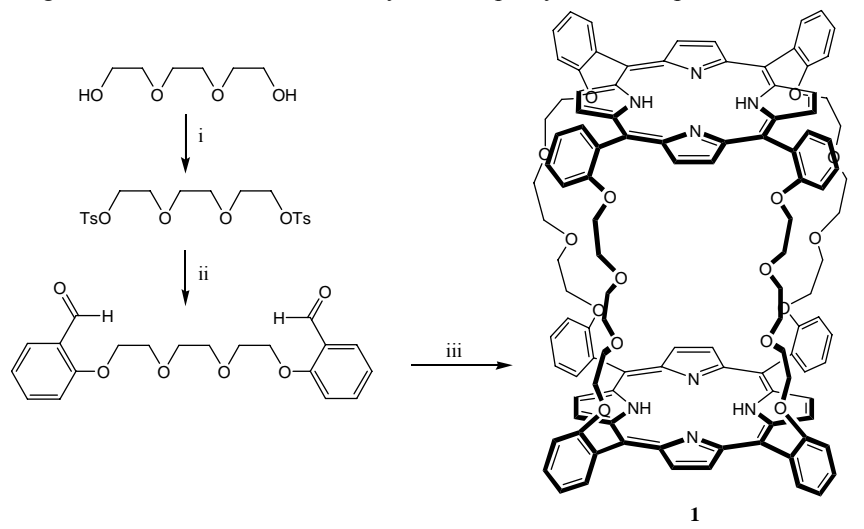
Supramolecular Chemistry Research Unit and Organic Synthesis Research Unit, Department of Chemistry, Faculty of Science, Chulalongkorn University, Bangkok 10330, Thailand.

Abstract— Bisporphyrin **1** and its zinc complex ($\mathbf{Zn_2.1}$) were synthesized. The inclusion of C60 by both hosts were studied by UV-vis spectroscopic titrations. It was found that association constant of C_{60} with bispophyrin **1** was $>10^7$ and was higher than its zinc complex (1.26×10^6). This may attribute from more rigid structure of the cavity which enhances the ability to encapsulate C_{60} .

Porphyrin-Fullerene interaction has long been extensively investigated and utilized in many applications¹⁻⁵. Many studies showed surprising strong interactions which are attributed from π - π interactions⁶. Compared with porphyrin, those traditional concave hosts, e.g., calixarene cannot gain such a strong interaction with fullerene⁷.

Consequently, porphyrin and fullerene were sought for many applications arising from this interaction. Many photochemical, photophysical and electrochemical properties of porphyrin, fullerene-porphyrin dyads can be constructed to investigate the photoinduced electron transfer (PET) process^{10,11} which is of great importance in many biological systems.

As stated above, the interaction between porphyrin and fullerene can be enhanced in "sandwich" model like bisporhyrins. As expected, the more rigid structure the host



Scheme 1. Reagent and Conditions: (i) TsCl, Et₃N, DMAP, CH₂Cl₂, rt, 3 h, (ii) Salicylaldehyde, K₂CO₃, CH₃CN, reflux, 72 h, (iii) pyrrole, K₂CO₃, propionic acid: toluene (3:10), air reflux, 12 h

groups' studies showed that fullerenes are excellent electron acceptors, i.e., they can accept electrons up to six electrons^{8,9}. Therefore, combined with known

is, the stronger interaction can be observed^{2,12-14}. Unfortunately, many bisporphyrins can be synthesized only

*Corresponding author. Tel.: +66-2-218-7643; fax: +66-2-254-1309; e-mail: <u>Buncha.P@chula.ac.th</u>.

Keywords: bisporphyrin, fullerene, synthesis, complexation

in long and tedious ways, thereby discouraging to study many fascinating properties of these dyads further.

We reported herein a concise synthetic methodology which can obtain the final product (1) within 3 steps and needs only one chromatographic separation step as illustrated in scheme 1¹⁵. Also, the zinc-porphyrin complexes could be synthesized easily with known condition as in many previous works¹⁶.

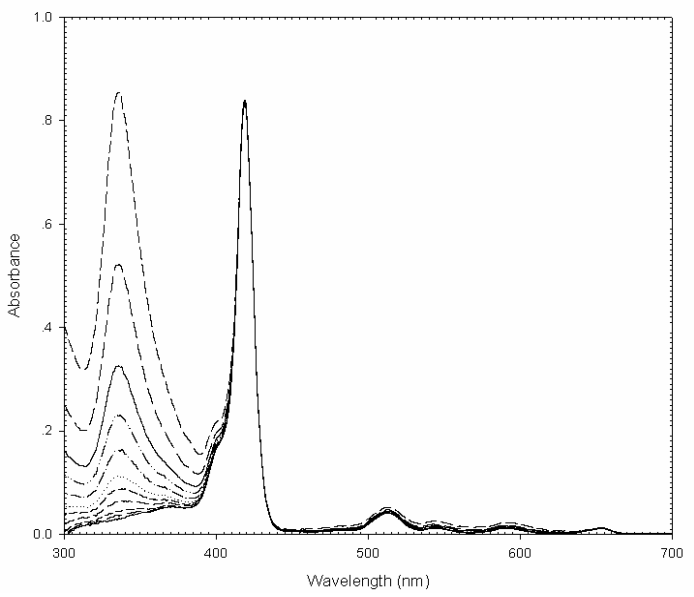


Fig 1. UV-vis titration of **1** with C_{60} (0, 0.14, 0.27, 0.55, 0.96, 1.37, 2.20, 3.29, 4.94, 8.24 and 13.73 equivalent respectively.)

Log $K \ge 7$ UV-vis titration of **1** and $\mathbf{Zn_2.1}$ with C_{60} to obtain association constants revealed an interesting result¹⁷ (Fig.1 and Fig.2). With **1**, C_{60} can form highly strong complexes than any previous results¹⁸. This may be because of, compared to bisporphyrins of Aida's work,¹⁴ two additional pillars which can increase the ability to encapsulate C_{60} into the cavity. $\mathbf{Zn_2.1}$ exhibited the ordinary association

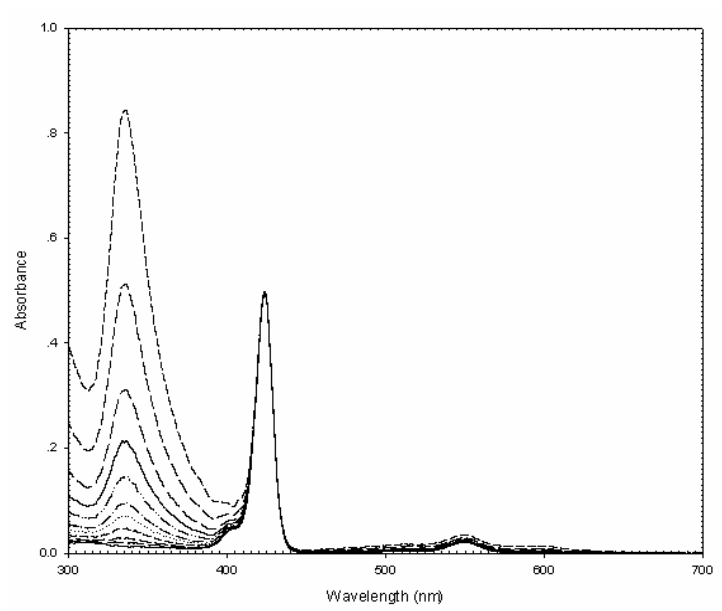


Fig 2. UV-vis titration of **Zn₂.1** with C_{60} (0, 0.11, 0.22, 0.56, 0.89, 1.34, 2.01, 3.13, 4.47, 7.83 and 13.42 equivalent respectively.) Log K = 6.10

constant compared to previous studies. Apparently, the association constant of $\mathbf{Zn_2.1}$ with C_{60} is substantially lower than that of $\mathbf{1}$ which is consistent with preceding results ^{14,19}, i.e. the K values of metal complexes are usually lower than those of free base ligands due to more rigidity of hosts, thereby decreasing contact area between host and C_{60} .

In conclusion, we reported another intriguing bisporphyrins which can exhibit the exceptionally strong interaction with C_{60} especially in case of free base ligand. The most interesting feature of this compound is the ease of synthesis, making it attractive for using in application of molecular separation. Structural modification on this compound and further study of electrochemical properties are in progress.

Acknowledgments

We are deeply grateful for the financial support by the Thailand Research Fund (RSA/06/2545) and National Science and Technology Development Agency (NSTDA) through Junior Science Talent Project (JSTP).

References and Notes

- 1. Wang, Y. B.; Lin, Z. J. Am. Chem. Soc. 2003, 125, 6072.
- Sun, D.; Tham, F. S.; Reed, C. A.; Chaker, L.; Burgee, M.; Boyd, P. D. W. J. Am. Chem. Soc. 2000, 122, 10704.
- 3. Guldi, D. M.; Luo, C.; Prato, M.; Troisi, A.; Zerbetto, F.; Scheloske, M.; Dietel, E.; Bauer, W.; Hirsch, A. *J. Am. Chem. Soc.* **2001**, 123, 9166.
- Fukuzumi, S.; Imahori, H.; Yamada, H.; El-khouly, M. E.; Fujitsuka, M.; Ito, O.; Guldi, D. M. J. Am. Chem. Soc. 2001, 123,2571.
- Shoji, Y.; Tashiro, K.; Aida, T. J. Am. Chem. Soc. 2004, 126, 6570
- Boyd, P. D. W.; Hodgson, M. C.; Chaker, L.; Rickard, C. E. F.; Oliver, A. G.; Brothers, P. J.; Bolskar, R.; Tham, F. S.; Reed, C. A. J. Am. Chem. Soc. 1999, 121, 10487.
- Fox, O.D.; Drew, M. G. B.; Wilkinson, E. J. S.; Beer, P. D. Chem. Commun. 2000, 391.
- Allemand, P. M.; Koch, A.; Wudl F.; Rubin Y.; Diederich F.; Alvarez M. M.; Anz S. J.; Whetten R.L. J. Am. Chem. Soc. 1991, 113, 1050.
- Dubois, D.; Kadish, K. M.; Flanagan, S.; Haufler, R. E.; Chibante L. P. F.; Wilson, L. J. J. Am. Chem. Soc. 1992, 114, 4364.
- El-Khouly, M. E.; Ito, O.; Smith, P. M.; D'Souza, F. J. Photochemistry and Photobiology C: Photochemistry Reviews 5 2004, 79.
- 11. D' Souza, F.; Ito, O. Coordination Chemistry Reviews 2005, In Press.
- Duhić, M.; Lhoták, P.; Stibor, I.; Petříčková, H.; Lang, K. New J. Chem. 2004, 28, 85.
- 13. Kubo, Y.; Sugasaki, A.; Ikeda, M.; Sugiyasu, K.; Sonoda, K.; Ikeda., A.; Takeuchi, M.; Shinka. S. *Org.Lett.* **2002**, 4, 925.
- Zheng, J.Y.; Tashiro, K.; Hirabayashi, Y.; Kinbara, K.; Saigo, K.; Aida, T.; Sakamoto, S.; Yamaguchi, K. Angew. Chem. Int. Ed. 2001, 40, 1857.
- 15. General Procedure to Synthesize 1: Triethylene glycol (3.34 mL, 25 mmole) was stirred in 50 mL of CH₂Cl₂. Then, tosyl chloride (9.53 g, 50 mmole) in 50 mL of CH₂Cl₂ was added

dropwise by an addition funnel. Triethylamine (10.50 mL, 75 mmole) and DMAP (catalyst amount) were also added as a base and catalyst, respectively. After 3 hours, the crude product was extracted with $HCl_{(aq)}$ solution and then evaporated to some extent. Diethyl ether was then added and the mixture was cooled in an ice bath. The white solid was soon precipitated out of the solution and collected from the filtration to obtain triethylene glycol ditosylate (9.13 g, 80% yield). Subsequently, K₂CO₃ (16.48 g, 0.12 mole) was stirred in 200 mL of CH₃CN for 10 minutes. Salicylaldehyde (6.25 mL, 0.060 mole) was then added to the solution as well as the last product (9.13 g, 0.02 mole). The solution was refluxed for 26 hours and then extracted with NaOH_(aq) to remove excess salicylaldehyde. The solution was then evaporated to obtain triethylene glycol disalicylaldehyde (6.52 g, 91.4 %). Dialdehyde (4.23 g, 0.012 mole) and pyrrole (1.57 mL, 0.024 mole) were then mixed in propionic acid-toluene (3:10, 260 mL) mixture and allowed to reflux overnight. NaCl (1.38 g, 0.024 mole) was also added as an additive. Then, the mixture was evaporated to eliminate excess propionic acid as well as toluene. The crude was subsequently extracted with NaHCO_{3(aq)} and subjected to column chromatography (5% acetone, 95% CH₂Cl₂) to obtain 1 (0.47 g, 8.76 % yield) as the first red-violet band.

- 16. 1 (0.18 g, 0.10 mmole) was mixed with Zn(OAc)₂.2H₂O (0.78 mmole) in 30 mL of dried CH₂Cl₂. Triethylamine (3 drops) was added as a base and the mixture was stirred overnight at room temperature. 0.090 g (45 %) of Zn₂.1 was then obtained from column chromatography (5% acetone, 95% CH₂Cl₂).
- 17. Procedure of UV-vis spectral experiments: The ligand stock solutions and C₆₀ stock solution were prepared by dissolution of weighed amount of each compounds (the concentrations of the ligands were about 1x10⁻⁴ M and the ligands were diluted to 10⁻⁶ M before the titrations). Titrations of 1 with C₆₀ and Zn₂.1 with C₆₀ were performed in spectrophotometric cell of 1 cm by recording UV-vis spectra after adding certain amounts of C₆₀ into these ligands. The spectra were recorded from 300 to 700 nm at room temperature with a varian spectrophotometer. The final C₆₀-to-ligand ratios were about 20. The association constants were calculated from the program Sirko. (Vetrogon, V.; Lukyanenko, N. G.; Schwing-Weill, M. J.; Arnaud-Neu, F. Talanta 1994, 41, 2105.)
- 18. Satake, A.; Kobutke, Y. Tetrahedron 2005, 61, 13.
- 19. Boyd, P. D. W.; Reed, C. A. Acc. Chem. Res. 2005, 38, 235.